

## **МОДЕЛИРОВАНИЕ ПРОЦЕССОВ ТЕПЛОПЕРЕДАЧИ МАГНЕТРОННОЙ РАСПЫЛИТЕЛЬНОЙ СИСТЕМЫ**

И.Д. Шоничев, Л.Л. Колесник

### **АННОТАЦИЯ**

В статье описано моделирование процессов теплопередачи малогабаритной магнетронной распылительной системы. Приводится описание проблемы эффективного теплоотвода. Представлены результаты моделирования тепловых процессов.

### **КЛЮЧЕВЫЕ СЛОВА**

МАГНЕТРОННОЕ РАСПЫЛЕНИЕ, ТЕПЛОПЕРЕДАЧА, МОДЕЛИРОВАНИЕ ТЕПЛОВЫХ ПРОЦЕССОВ, COMSOL MULTIPHYSICS

### **HEAT TRANSFER MODELING OF MAGNETRON SPUTTERING UNIT**

I.D. Shonichev, L.L. Kolesnik

### **ABSTRACT**

The paper describes heat transfer modeling of magnetron sputtering unit. A description of the effective heat removal issue is given. The results of heat transfer modeling are given.

### **KEYWORDS**

MAGNETRON SPUTTERING, HEAT TRANSFER, HEAT TRANSFER MODELING, COMSOL MULTIPHYSICS

### **ВВЕДЕНИЕ**

На сегодняшний день устройство окружающего нас мира неразрывно связано с такими областями науки и техники как микро и наноэлектроника. В основе изделий микро и наноэлектроники лежат многослойные тонкопленочные структуры, формируемые в вакууме различными технологическими методами. Многообразие методов создания тонкопленочных покрытий позволяет получать покрытия с уникальными свойствами, в тоже время существуют методы нанесения, обладающие широким спектром применения. Таким методом является метод магнетронного распыления, позволяющий получать покрытия металлов, оксидов, нитридов, композитные покрытия и другие виды покрытий.

Для нанесения различных покрытий в рамках НИР кафедры МТ11 МГТУ им. Н.Э. Баумана разработана компактная магнетронная распылительная система – магнетрон с круглой планарной мишенью диаметром 30 мм со сбалансированной конфигурацией магнитного поля. Особенностью конструкции магнетрона является отсутствие электрического контакта между катодом магнетрона и теплоносителем – водой (из системы общего водоснабжения, недистиллированной), охлаждающей магнитную систему магнетрона. Катод магнетрона отделен от теплообменника диэлектриком – пластиной из нитрида алюминия. За счет данной конструктивной особенности повышается безопасность эксплуатации установки, так как исключается риск поражения оператора электрическим током при одновременном контакте с корпусом, являющимся анодом, и теплоносителем или металлическими

элементами системы охлаждения. С другой стороны, данная конструктивная особенность снижает эффективность охлаждения магнитной системы.

В ходе испытаний магнетрона и экспериментов по созданию покрытий с помощью данного магнетрона был выявлен перегрев магнитной системы, проявляющийся как потеря магнитных свойств постоянных магнитов. Для исследования процессов теплопередачи при магнетронном распылении между деталями магнетрона и теплоносителем было принято решение провести моделирование тепловых процессов в среде COMSOL Multiphysics.

## **ДОПУЩЕНИЕ И ОГРАНИЧЕНИЯ МОДЕЛИ**

В исследовании рассматриваются процессы нестационарного теплообмена посредством теплопроводности. Для упрощения модели и ускорения вычислений избавляем CAD модель, используемую в расчете, от незначимых элементов: резьбовые элементы, провод катода.

В исследовании не рассматриваются процессы теплообмена излучением, так как градиент температур незначителен, поэтому теплообмен излучением не имеет значимого вклада в общий процесс теплообмена. Также не рассматривается процесс теплообмена теплопроводностью между вакуумной камерой и магнетроном. Контакт между камерой и магнетроном выполняется через резиновое вакуумное уплотнение и через болтовые струбцины, площадь и теплопроводность соединения малы, поэтому тепловой поток между магнетроном и камерой теплопроводностью незначителен.

Также в рамках модели не учитывается действительный процесс контактной теплопередачи, ввиду невозможности или затрудненности оценки реального контактного теплового сопротивления в местах сопряжений деталей. В модели рассматриваются только идеальные контакты всех сопрягаемых деталей модели, соответствующие граничному условию четвертого рода [1].

В моделируемых процессах теплопередачи коэффициенты теплопроводности всех деталей приняты постоянными, так как диапазон изменения температуры незначителен, изменением коэффициента теплопроводности можно пренебречь.

## **ПОСТРОЕНИЕ РАСЧЕТНОЙ СХЕМЫ**

Внешний вид CAD модели магнетрона, используемой в моделировании в среде COMSOL Multiphysics с указанием позиций деталей, приводится на рисунке 1.

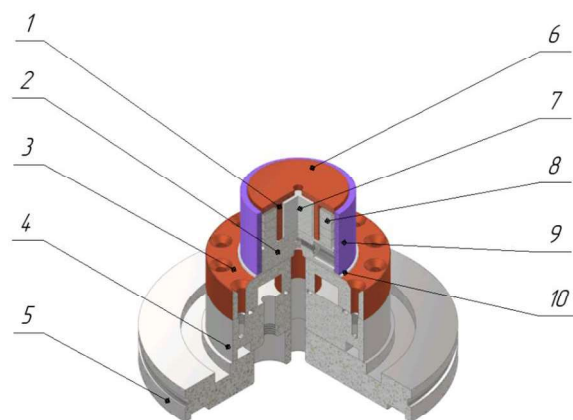


Рис. 1. Внешний вид CAD модели магнетрона с указанием позиций деталей

Описание позиций деталей с указанием используемых при моделировании значений физических величин приводится в таблице 1.

Таблица 1  
 Описание позиций магнетрона и их характеристики, используемые в расчетах

Поз.	Деталь	Материал	$\lambda \left[ \frac{Bm}{m \cdot K} \right] c \left[ \frac{Дж}{кг \cdot K} \right]$	$\rho \left[ \frac{кг}{m^3} \right]$
1	Медный цилиндр	Медь	385 [2]	399 [3] 8930 [3]
2	Стальной диск	Ст3	55 [4]	480 [4] 7850 [4]
3	Медный теплообменник	Медь	385 [2]	399 [3] 8930 [3]
4	Стальной диск	12Х18Н10Т	20 [4]	502 [3] 7900 [3]
5	Фланец ISO63-K	12Х18Н10Т	20 [4]	502 [3] 7900 [3]
6	Медная мишень	Медь	385 [2]	399 [3] 8930 [3]
7	Магнит неодимовый	N35 (НмБ 210/130) (NbFeB)	9 [5]	440 [5] 7450 [5]
8	Магнит неодимовый кольцевой	N35 (НмБ 210/130) (NbFeB)	9 [5]	440 [5] 7450 [5]
9	Трубка защитная	$Al_2O_3$	40 [6]	886 [6] 3965 [6]
10	Прокладка керамическая	AlN-200	200 [7]	734 [7] 3130 [7]

Для используемых магнитов из сплава N35 предельная температура эксплуатации составляет 80°C, для сплава N35H – 120°C [5].

### ЗАДАНИЕ НАЧАЛЬНЫХ УСЛОВИЙ

Тепловой поток действует на поверхность мишени, с которой осуществляется распыление. Вода заполняет весь объем теплообменника (позиция 3 на рисунке 1) магнетрона. Давление потока жидкости на входе в объем принято равным 2 атмосферам. В ходе измерений реального потока жидкости установлено, что реальный расход составляет 5 литров воды в минуту. В качестве начальных условий заданы давления на входе канала и скорость жидкости на выходе из канала. Изображение сечения магнетрона показано на рисунке 2, объем, заполненный водой, выделен голубым цветом.

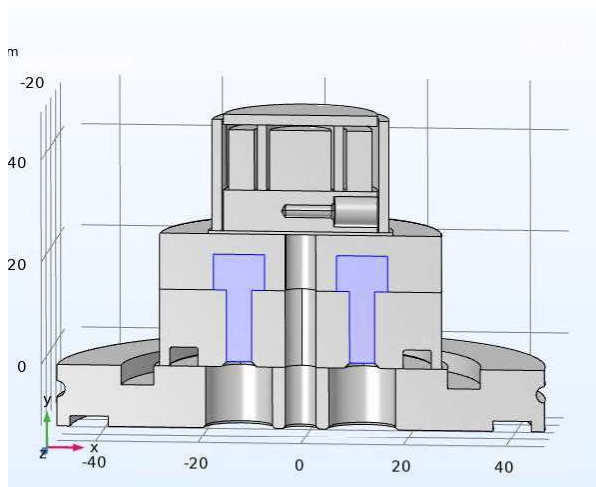


Рис. 2. Изображение CAD модели магнетрона в разрезе, а также объема, заполненного водой (выделено голубым цветом)

Рассчитаем потока воды в выходном канале при диаметре выходного канала 4,9 мм:

$$\frac{5 \text{ л/мин}}{\pi \left( \frac{4,9 \text{ мм}}{2} \right)^2} = \frac{0,005 \text{ м}^3/\text{мин}}{\pi \left( \frac{0,0049 \text{ м}^2}{2} \right)} = 265,147 \text{ м}/\text{мин} = 4,419 \text{ м}/\text{с}.$$

Рассчитаем число Рейнольдса для входного патрубка по формуле:

$$Re = \frac{\nu d \rho}{\eta},$$

где  $Re$  – значение числа Рейнольдса,  $\nu$  – скорость потока жидкости [ $\text{м}/\text{с}$ ],  $d$  – диаметр трубопровода в метрах,  $\rho$  – плотность жидкости [ $\text{кг}/\text{м}^3$ ],  $\eta$  – динамическая вязкость [ $\text{Па} \cdot \text{с}$ ] [8]. Для воды при  $15^\circ\text{C}$  плотность принимаем  $999 \text{ кг}/\text{м}^3$ , динамическая вязкость  $1,140 \cdot 10^{-3} \text{ Па} \cdot \text{с}$  [7].

$$Re = \frac{4,419 \text{ м}/\text{с} \cdot 0,0049 \text{ м} \cdot 999 \text{ кг}/\text{м}^3}{1,140 \cdot 10^{-3} \text{ Па} \cdot \text{с}} = 18974 > 10^4 > 2 \cdot 10^3.$$

Следовательно, режим течения в трубопроводе турбулентный.

Поток охлаждающей жидкости (воды) задан как турбулентный поток. Моделирование выполнено по модели  $k-\varepsilon$ , обладающей быстрой сходимостью. В  $k-\varepsilon$  модели заданы два дополнительных уравнения для расчета кинетической энергии турбулентности  $k$  и скорости диссипации кинетической энергии  $\varepsilon$ . Буферный слой жидкости не моделируется, для расчета скорости у стенки используются пристеночные функции.

Мощность теплового потока и температура воды, поступающей в магнетрон заданы как параметры. Задание величин как параметров позволяет производить перебор значений параметров при моделировании – опция Parametric Sweep в настройках решения. Принятые значения параметров: мощность теплового потока в моделировании принимает значения 10, 25, 50, 100, 150, 200, 250 Вт, а температура поступающей жидкости принимает значения 10 и  $15^\circ\text{C}$ , при измерениях реальной температуры поступающей воды не обладали воспроизводимостью, также необходимо учесть сезонный характер изменения температуры поступающей жидкости.

Магнетрон симметричен относительно плоскости, проходящей через ось магнетрона и ось отверстие винта крепления провода катода, поэтому для снижения затрат вычислительных ресурсов необходимых для моделирования моделирование проводится для половины изделия с применением настройки Symmetry для расчетной схемы.

## РЕЗУЛЬТАТЫ МОДЕЛИРОВАНИЯ

В реальной конструкции магнетрона детали 2, 3 и 10 на рисунке 1 соединены kleevым соединением. На данном этапе расчета kleевое соединение исключено из модели.

Произведен стационарный расчет с помощью решателя Stationary Solver. Изображение распределения скоростей охлаждающей жидкости в сечении канала теплообменника представлено на рисунке 3.

Изображение распределения давлений в сечении канала теплообменника представлено на рисунке 4.

В результате моделирования определены значения установившейся максимальной температуры магнитов, то есть температуры в условиях теплового равновесия. Моделирование проводилось с перебором мощности теплового потока и температуры охлаждающей жидкости. Полученная зависимость представлена на рисунке 5.

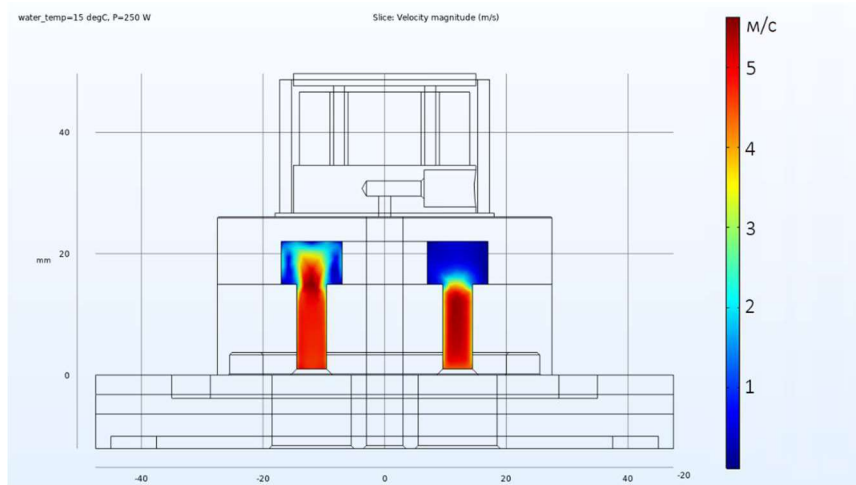


Рис. 3. Распределение скоростей (м/с) охлаждающей жидкости в сечении канала теплообменника

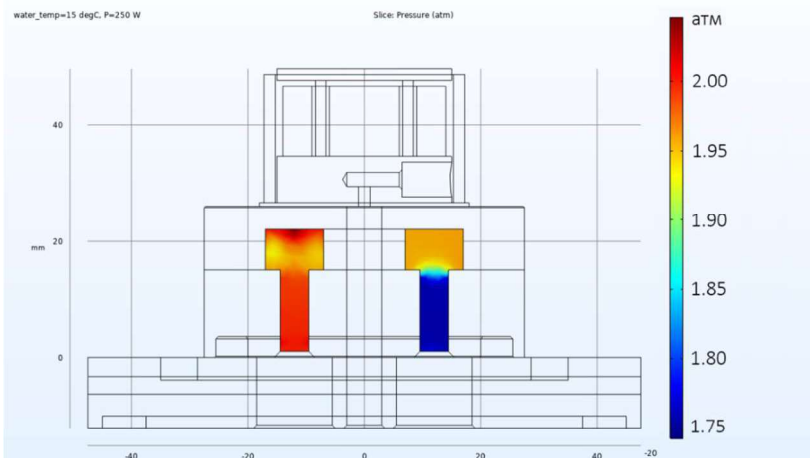


Рис. 4. Изображение распределения давлений (атм) охлаждающей жидкости в сечении канала теплообменника

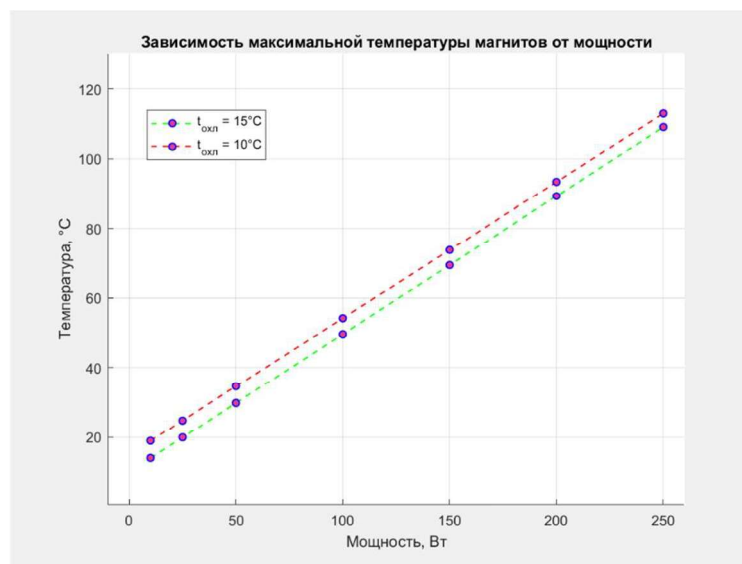


Рис. 5. График зависимости максимальной установившейся температуры магнитов от мощности

Изображение распределения поля температур при состоянии теплового баланса при температуре охлаждающей жидкости 15°C и мощности теплового потока 250 Вт на рисунке 6.

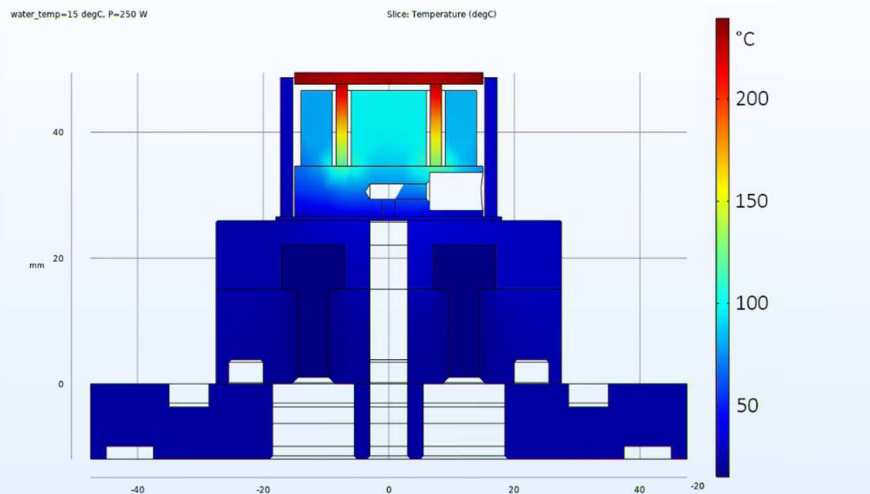


Рис. 6. Поле температур в состоянии теплового баланса при температуре охлаждающей жидкости 15°C и мощности теплового потока 250 Вт

Для оценки длительности нестационарного процесса теплопередачи проведено моделирование с помощью решателя Time-Dependent Solver, расчет производился для диапазона времени 300 секунд с шагом времени 1 секунда. Для упрощения модели и уменьшения времени расчета поток жидкости рассчитывается как ламинарный. Кроме того, при моделировании потока жидкости с учетом турбулентного режима движения в нестационарных процессах требуется расчётная сетка с малым размером элемента, что требует значительного объема памяти и вычислительных ресурсов. Основной задачей нестационарного моделирования является качественная оценка длительности нестационарного процесса, то есть времени, необходимого для установления режима стационарной теплопередачи. Поэтому неточность моделирования теплообмена, обусловленная моделированием потока жидкости в ламинарном режиме, принимается как приемлемая для качественной оценки.

По полученным в результате моделирования значениям поля температур от времени построен график зависимости максимальной температуры магнитов от времени (рис.7).

По графику (Рисунок 7) можно оценить длительности процессов нестационарной теплопередачи – порядка 100 секунд.

В реальной конструкции магнетрона для соединения деталей позиций 2, 3, 10 рисунка 1 использован эпоксидный клей. Теплопроводность эпоксидных kleевых составов не превышает 0,4-1 Вт/(м·К) для ненаполненных эпоксидных составов [9]. Также немаловажным фактором является однородность состава, что может влиять на степень конверсии, например, при неоднородности состава в kleевом соединении может возникнуть неоутверждённая зона. В расчете принимаем теплопроводность kleевого слоя 0,35 Вт/(м·К), плотность материала kleевого соединения 1200 кг/м<sup>3</sup>, теплоемкость 1600 Дж(кг·К) [9]. Толщину слоя принимаем 0,1 мм. Увеличенное изображение магнетрона с выделенными цветом kleевыми соединениями представлено на рис. 8.

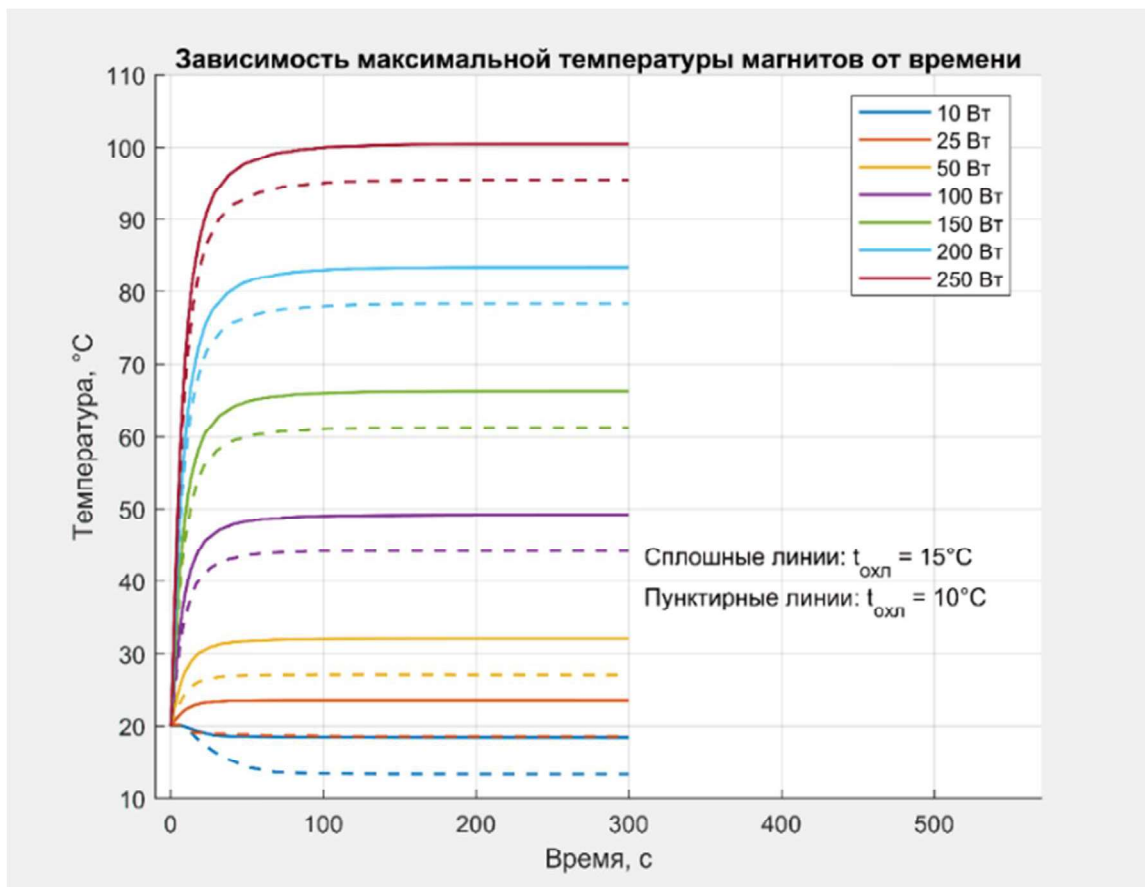


Рис. 7. График зависимости температур магнитов от времени

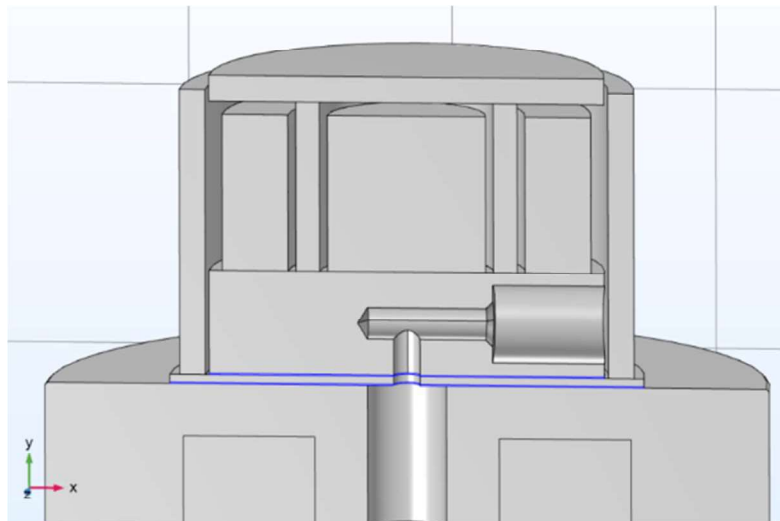


Рис. 8. Схема внутреннего устройства магнетрона, синим цветом выделены клеевые соединения

Моделирование производилось с помощью стационарного расчета с решателем Stationary Solver. В результате моделирования получен график зависимости максимальной установившейся температуры магнитов в зависимости от мощности теплового потока (рис. 9).

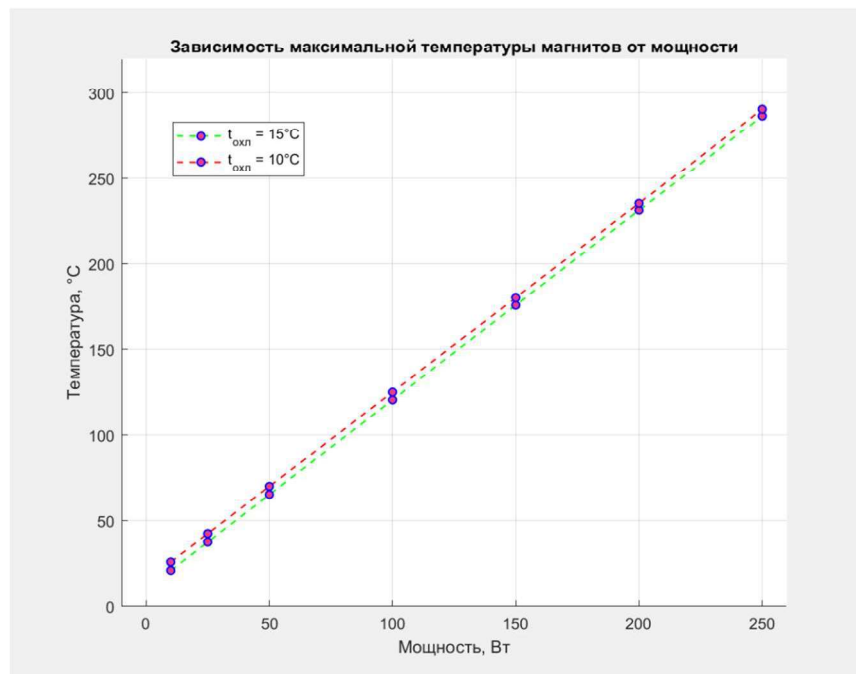


Рис. 9. График зависимости максимальной установившейся температуры магнитов от мощности при учете теплопроводности клеевого соединения

Распределение поля температур при мощности 250 Вт и температуре охлаждающей жидкости  $15^{\circ}\text{C}$  представлено на рис. 10.

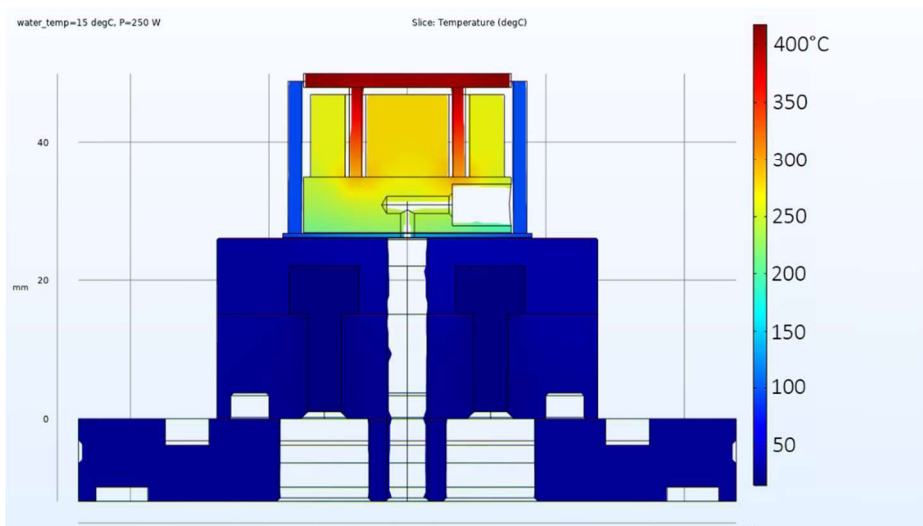


Рис. 10. Поле температур в состоянии теплового баланса при температуре охлаждающей жидкости  $15^{\circ}\text{C}$  и мощности теплового потока 250 Вт с учетом клеевого соединения

## ВЫВОДЫ

В результате моделирования определены максимальные значения температур магнитов при принудительном охлаждении с учетом и без учета теплопроводности клеевого соединения. По полученным данным можно подобрать сплав магнитов с необходимым рабочим температурным диапазоном. По результатам моделирования с учетом клеевого соединения определена причина перегрева магнитов – недостаточная теплопроводность клеевого соединения. На основе результатов моделирования можно предложить варианты

соединения деталей магнетрона с большей теплопроводностью, например использование наполненных kleевых составов или соединение деталей с помощью пайки.

## **ЛИТЕРАТУРА**

1. Лыков А.В. Теория теплопроводности. Москва: Высшая школа, 1967. 600 с.
2. Михеев М.А., Михеева И.М. Основы теплопередачи. 2-е, стереотип.-е изд. М. «Энергия», 1977. 344 с.
3. Чиркин В.С. Термо-физические свойства материалов ядерной техники. Москва: Атомиздат, 1968.
4. Зубченко А.С., Колосков М.М., Каширский Ю.В. Марочник сталей и сплавов. Москва: Машиностроение, 2003. 784 pp.
5. ГОСТ Р 52956-2008 МАТЕРИАЛЫ МАГНИТОВЕРДЫЕ, СПЕЧЕННЫЕ НА ОСНОВЕ СПЛАВА НЕОДИМ-ЖЕЛЕЗО-БОР.
6. Агроскин А.А., Глейбман В.Б. Теплофизика твердого топлива. Москва: Недра, 1980. 256 с.
7. Бабичев А.П., Бабушкина Н.А., Братковский А.М. Физические величины: справочник. Москва: Энергоатомиздат, 1991. 1232 с.
8. Плановский А.Н., Рамм А.Н., Каган С.З. Процессы и аппараты химической технологии. 4-е изд. Ленинград. 1967. 848 с.
9. Петрова А.П., Малышева Г.В. Клей, kleевые связующие и kleевые препреги: учебное пособие / под общ. ред. Е.Н. Каблова. Москва: ВИАМ, 2017. 472 с.

## **СВЕДЕНИЯ ОБ АВТОРАХ**

Шоничев И.Д. – студент кафедры электронных технологий в машиностроении, МГТУ им. Н.Э. Баумана, г. Москва; e-mail: id@shonichev.ru

Колесник Л.Л. – кандидат технических наук, доцент кафедры электронных технологий в машиностроении, МГТУ им. Н.Э. Баумана, г. Москва; генеральный директор ООО «Электровакуумные технологии», г. Москва; e-mail: kolesnik@bmstu.ru; l.kolesnik@m-i.ru